



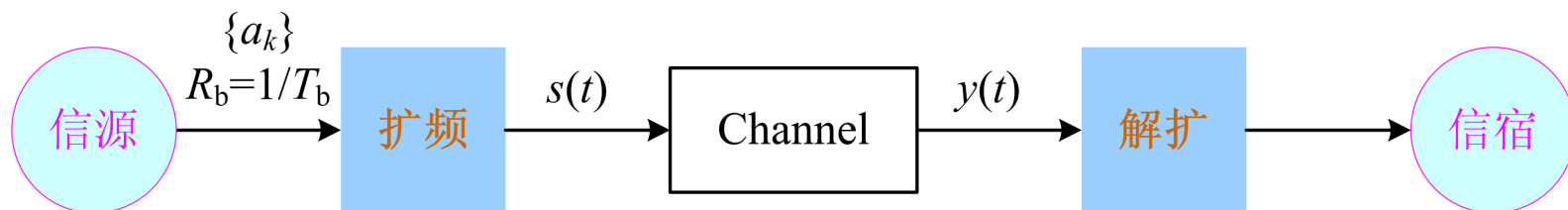
# 第10章 扩频通信

---

信息与通信工程学院  
无线信号处理与网络实验室  
孙卓

2011.05.21

# 扩频通信



- $s(t)$ 的带宽远大于奈奎斯特带宽
- 若图中信道是等效基带信道，则正弦调制和解调含在信道中
- 若图中信道是频带信道，则正弦调制和解调含在扩频/解扩中
- 使 $s(t)$ 的带宽远大于奈奎斯特带宽的方法很多，本章主要考虑直序扩频（DSSS）



# 为什么要扩频？

---

- 我们肯花费宝贵的带宽去扩频，是因为它有以下的吸引力
  - 抗截获和抗干扰能力
  - 抗衰落能力
    - DSSS自有的抗多径干扰能力
    - 多径分集（Rake）
  - 多址通信能力
    - 抗其他用户的干扰



# 随机序列

---

- 在相当一部分情景下，我们希望扩频码像是随机掷硬币所产生的序列
- 随机序列的基本特性
  - 均衡性：0,1出现的概率均为 $1/2$
  - 游程特性：长度为1的游程数为游程总数的 $1/2$ ，长度为2的游程数为游程总数的 $1/4$ ...长度为 $n$ 的游程数为游程总数的 $1/2^n$
  - 位移特性：随机序列与其位移任意个码元所形成的序列相比，对应位置的码元有一半相同,一半不同（移位相加0/1概率各半）
  - 周期无限



# 伪随机码

---

- 伪随机序列

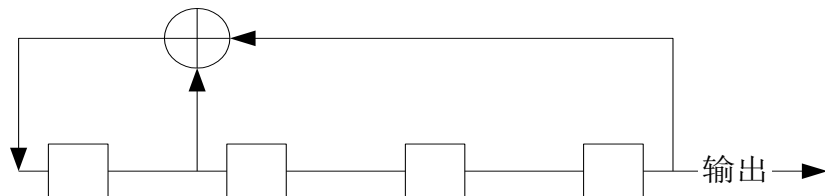
- 具有类似于随机序列特性（三个基本特性）的确定序列

- 伪随机序列的种类

- m序列
  - Gold码
  - 正交Gold码
  - m序列的截短码
  - M序列

# 序列发生器

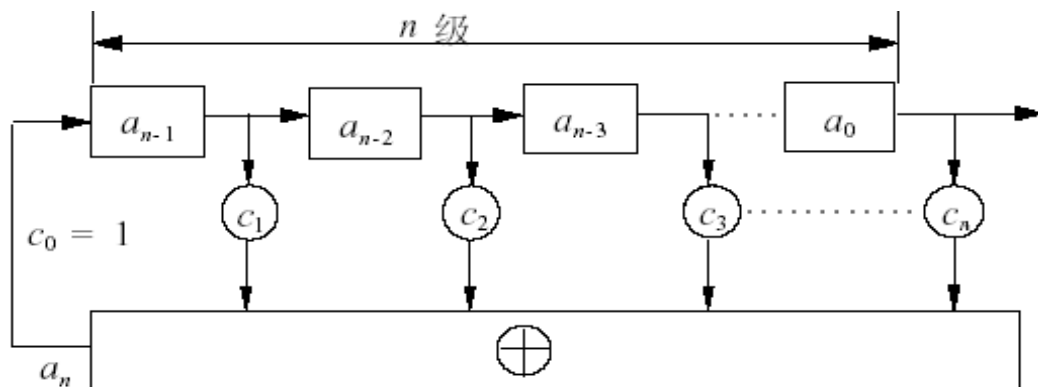
- 例：两个线性移位寄存器序列发生器如下



1000 1100 0110 1011  
0101 0010 0001

- 一般说来，一个 $n$ 级反馈移存器可能产生的最长周期为 $2^n - 1$ 。
- m序列：最长线性反馈移位寄存器序列
  - 带线性反馈的移位寄存器产生的周期最长的序列
- 反馈电路如何连接才能输出序列最长？

# 线性反馈移位寄存器序列的产生



- 反馈逻辑 ( $c_i$ 为0表示断, 1表示通)

$$a_n = c_1 a_{n-1} \oplus c_2 a_{n-2} \oplus \dots \oplus c_n a_0$$

- 特征多项式

$$f(x) = c_0 + c_1 x + c_2 x^2 + \dots + c_n x^n$$

- $x$ 为哑元, 其指数仅指明系数对应的移位寄存器单元, 系数指明对应的寄存器单元与模2和计算器的连接关系



# m序列

---

- n级移位寄存器的线性反馈电路产生的序列周期不会超过 $2^n-1$ , 若周期为最大值 $2^n-1$ , 该序列就是m序列
- 产生m序列的充要条件是特征多项式是本原多项式, 即满足
  - $f(x)$ 是既约的, 即不可分解
  - $f(x)$ 可整除 $x^m+1$ ,  $m=2^n-1$
  - $f(x)$ 不可整除 $x^q+1$ ,  $q<2^n-1$
- 本原多项式表 (表9.4.1)





# m序列的性质

---

## ■ 均衡性

- 一个周期中, 1 的数目为 $2^{n-1}$ , 0的数目为 $2^{n-1}-1$ . 即1和0约各占1/2

## ■ 游程特性

- 一个周期中, 游程总数为 $2^{n-1}$ , 其中长为n的游程数为1, 长为n-1的游程数为1, 长为n-2的游程数为2, 长为n-3的游程数为4... 长为1的游程数为 $2^{n-2}$

# m序列的性质(Cont'd)

## ■ 移位特性

- 一个m序列 $M_p$ 与其经任意次延迟移位产生的另一序列 $M_r$ 模2加后, 得到的 $M_s$ 仍是 $M_p$ 的某次延迟移位序列

$$(1110100) \oplus (1101001) = (0011101)$$

## ■ 自相关特性

- 单极性码与双极性码(0对应+1, 1对应-1), 单极性码元的异或对应双极性码元的相乘
- m序列的归一化周期性自相关函数是二值函数

$\oplus$	1	0	$\otimes$	-1	1
1	0	1	-1	1	-1
0	1	0	1	-1	1

$$r_b(j) = \frac{1}{m} \sum_{k=1}^m b_k b_{k+j}$$

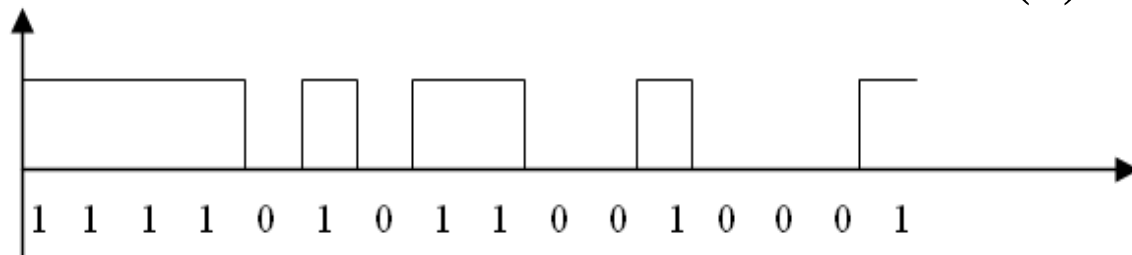
$$r_b(j) = \begin{cases} 1, & j = nm, n = 0, \pm 1, \pm 2, \dots \\ -\frac{1}{m}, & j \neq km \end{cases}$$

# m序列波形

- 码片
- 单极性m序列波形

$$g(t) = \begin{cases} 1, & 0 \leq t < T_c \\ 0, & t < 0, t \geq T_c \end{cases}$$

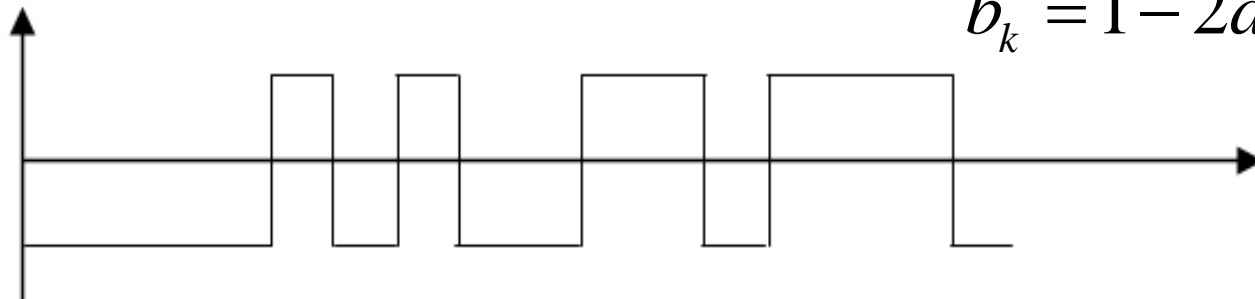
$$a(t) = \sum_{k=1}^{\infty} a_k g[t - (k-1)T_c]$$



- 双极性m序列波形

$$b(t) = \sum_{k=1}^{\infty} b_k g[t - (k-1)T_c]$$

$$b_k = 1 - 2a_k$$



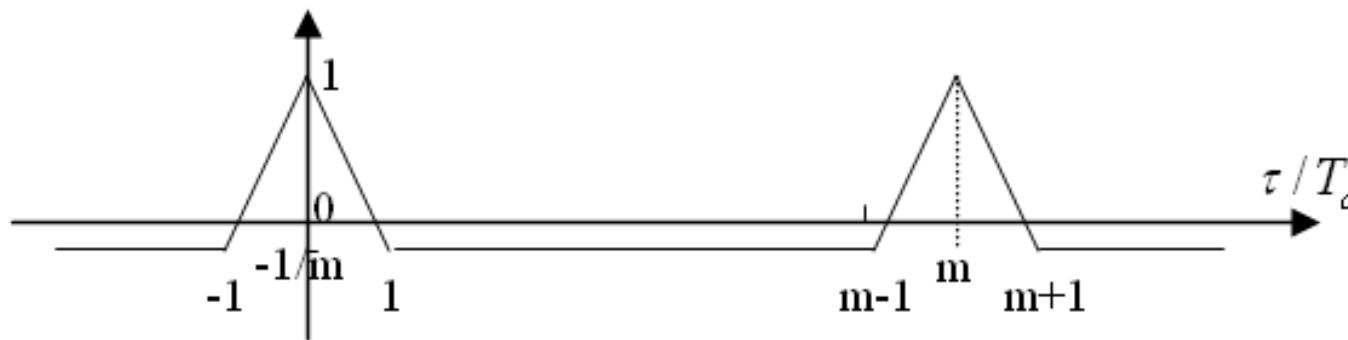
# m序列波形的周期性自相关特性

## ■ 归一化周期性自相关函数

$$r(\tau) = \frac{1}{T} \int_0^T b(t)b(t+\tau)dt, \quad T = mT_c$$

## ■ m序列波形的周期性自相关特性

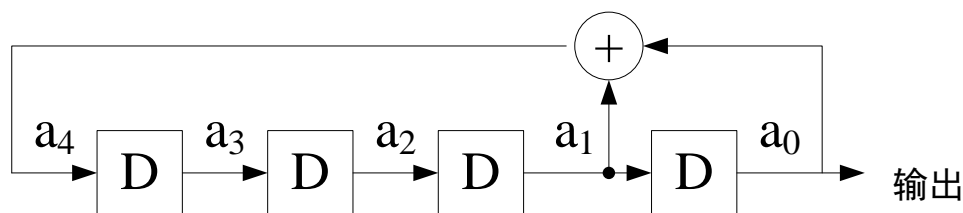
$$r(\tau) = \begin{cases} 1 - \frac{m+1}{m} \left| \frac{\tau - kT}{T_c} \right|, & |\tau - kT| \leq T_c, k = 0, \pm 1, \pm 2 \dots \\ -1/m, & \text{otherwise} \end{cases}$$



# 例

1个4级线性反馈移位寄存器如图所示，寄存器的初始状态为  $(a_3, a_2, a_1, a_0) = (0001)$ .

- (a) 请写出此m序列的特征多项式；
- (b) 请写出移位寄存器的输出序列。



解: (a)  $f(x) = 1 + x^3 + x^4$ ;

(b) 因  $a_k = a_{k-3} + a_{k-4}$ , 因此可以递推得到输出序列为:

1000 1001 1010 1111...



# m序列的个数

- 设有两个同周期的序列 $\{a_k\}$ 和 $\{b_k\}$ ，若 $\{b_k\}$ 不是 $\{a_k\}$ 的移位（一个周期内循环移位），则称它们是两个不同的码。否则就是同一个码的不同移位
- 某些CDMA应用中，需要给每个用户分配一个不同的PN码。m序列不能提供足够数量的码
  - 给定 $n$ 时，不同的m序列的意思是：它们有不同的特征多项式。
  - 例如 $n=3$ （ $m=7$ ）时只有两个不同的特征多项式：1101和1011。对应的两个m序列是：1010011和1100101，彼此不是循环移位关系。

# m序列的个数

- 相同长度不同反馈逻辑的m序列的数目等于同幂次的本原多项式的数目，其数目为

$$N_s = \frac{\Phi(2^n - 1)}{n}$$

- 其中， $\Phi(x)$ 为欧拉函数，为小于x且与x互质的数的个数（包括1）

n	2	3	4	5	6	7	8	9	10
$2^n - 1$	3	7	15	31	63	127	255	511	1023
$N_s$	1	2	2	6	6	18	16	48	60

11	12	13	14	15	16	17	18	19
2047	4095	8191	16388	32767	65535	131071	262143	524287
176	144	630	576	1800	2048	7710	7776	27594



# Gold码

- Gold码的生成：由m序列的优选对移位模2加构成。
- 优选对：  $m_1, m_2$  是同长度不同反馈逻辑生成的m序列，且周期性互相关函数为三值函数

$$u_1 = -1, \quad u_2 = \begin{cases} 2^{(n+1)/2} - 1, & n = \text{Odd Number} \\ 2^{(n+2)/2} - 1, & n = \text{Even Number} \end{cases}$$

$$u_3 = \begin{cases} -\left[2^{(n+1)/2} + 1\right], & n = \text{Odd Number} \\ -\left[2^{(n+2)/2} + 1\right], & n = \text{Even Number} \end{cases}$$

$$\text{GoldSequence} = m_1 \oplus m_2 (\text{CycleShift})$$



# Gold码的性质

- 长为N的一个优选对可构成N个Gold码
- Gold码数目多，远大于m序列的个数
- Gold的周期性自相关函数也是三值函数 ( $u_1, u_2, u_3$ )；同一优选对产生的Gold码的周期性互相关函数是三值函数；不同优选对产生的Gold码的周期性互相关函数不是三值函数
- Gold码相关函数的旁瓣特性

$$\frac{r_i(0)}{|r_i(\tau)|_{\max}} = \frac{\sqrt{N}}{1 \square 3}, \quad \frac{r_i(0)}{|r_{ij}(\tau)|_{\max}} = \frac{\sqrt{N}}{1 \square 3}, \quad (\tau \neq 0)$$



# 正交Gold码（偶位）

- 生成方法：在优选对产生的Gold码末尾加一个0，使序列长度为偶数
- 同步互正交特性

$$r_{ij}(0) = 0; \quad r_{ij}(\tau) \neq 0, \quad \tau \neq 0$$

- 相关函数的旁瓣特性

$$\frac{r_i(0)}{|r_i(\tau)|_{\max}} = \frac{\sqrt{N}}{2 \square 3}, \quad \frac{r_{ij}(0)}{|r_{ij}(\tau)|_{\max}} = \frac{\sqrt{N}}{2 \square 3}, \quad \tau \neq 0$$



# 伪随机码总结

---

- m序列的自相关特性最好，主峰与旁瓣之比为N
- 其它伪随机序列的相关特性均不如m序列，旁瓣都在 $\sqrt{N}$ 数量级



# 正交的概念

- 函数的正交:  $\int_{-\infty}^{\infty} x(t) y(t) dt = 0$ 
  - 三角函数集
- 向量的正交:  $g_1^T g_2 = 0$ 
  - 有限维离散空间的正交基
- 随机变量的正交:  $E\{XY\} = 0$ 
  - 不相关RV
- 不正交程度的刻画: 相关系数

$$r = \frac{\int_{-\infty}^{\infty} x(t) y(t) dt}{\sqrt{\int_{-\infty}^{\infty} x^2(t) dt \int_{-\infty}^{\infty} y^2(t) dt}}$$

$$r = \frac{g_1^T g_2}{\sqrt{\|g_1\|^2 \|g_2\|^2}}$$

$$r = \frac{E\{XY\}}{\sqrt{E\{X^2\} E\{Y^2\}}}$$

# 码的正交

- 双极性码（码元取值为+1,-1）

$$\rho(x, y) = \frac{1}{n} \sum_{i=1}^n x_i y_i = 0$$

- 单极性码（码元取值为0,1）

$$\rho(x, y) = \frac{A - D}{A + D} = \frac{A - D}{n} = 0$$

- 其中A是相同码元的个数，D为不同码元的个数

- 双极性码元的相乘等于单极性码元的异或非

$\otimes$	1	-1
1	1	-1
-1	-1	1

$\oplus$	1	0
1	1	0
0	0	1



# Hadamard矩阵

- 递推产生方法

$$H_2 = \begin{pmatrix} 1 & 1 \\ 1 & -1 \end{pmatrix}$$

$$H_{2N} = H_{2^{m+1}} = \begin{pmatrix} H_N & H_N \\ H_N & -H_N \end{pmatrix},$$

$$H_N = H_{2^m} = \begin{pmatrix} h_{11} & h_{12} & \cdots & h_{1N} \\ h_{21} & h_{22} & \cdots & h_{2N} \\ \vdots & \vdots & & \vdots \\ h_{N1} & h_{N2} & \cdots & h_{NN} \end{pmatrix}$$



# Walsh码

---

- Hadamard矩阵的行（或列）构成Walsh码
- 长度为N的Walsh码有N个，构成长度为N的Walsh码集
- 例:长度为4的Walsh码集

$$H_4 = \begin{pmatrix} 1 & 1 & 1 & 1 \\ 1 & -1 & 1 & -1 \\ 1 & 1 & -1 & -1 \\ 1 & -1 & -1 & 1 \end{pmatrix}$$

$$Wh(0) = (1, 1, 1, 1)$$

$$Wh(1) = (1, -1, 1, -1)$$

$$Wh(2) = (1, 1, -1, -1)$$

$$Wh(3) = (1, -1, -1, 1)$$

# Walsh函数

## 两种Walsh函数构成方式

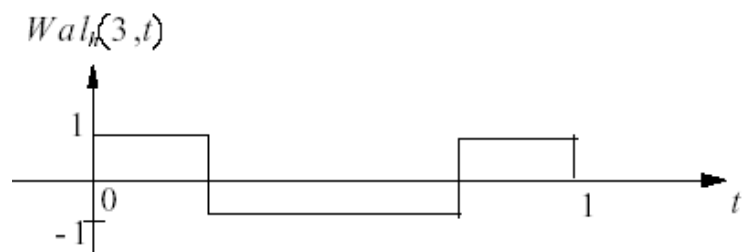
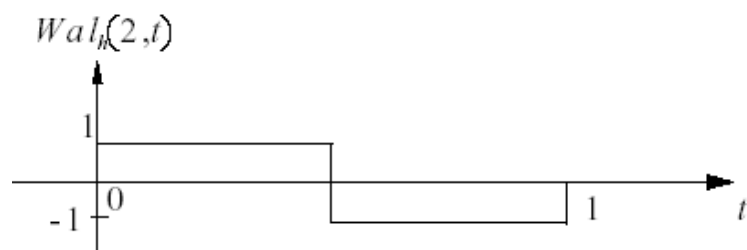
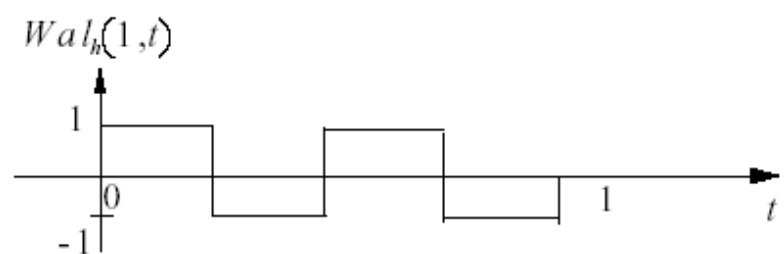
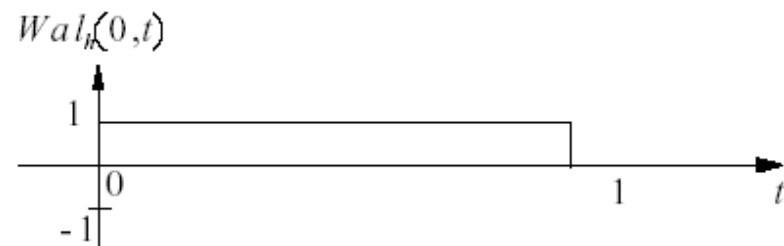
■ Hadamard码生成方式:  $Wal_h(i, t)$

$$Wal_h[(i-1), t] = \sum_{k=1}^N h_{ik} g[t - (k-1)T_c]$$

$$g(t) = \begin{cases} 1, & 0 \leq t \leq T_c \\ 0, & t < 0, t > T_c \end{cases}$$

例:  $H_4 = \begin{pmatrix} 1 & 1 & 1 & 1 \\ 1 & -1 & 1 & -1 \\ 1 & 1 & -1 & -1 \\ 1 & -1 & -1 & 1 \end{pmatrix}$

■ Rademacher 函数生成:  $W_i(t)$







# Walsh函数的性质

---

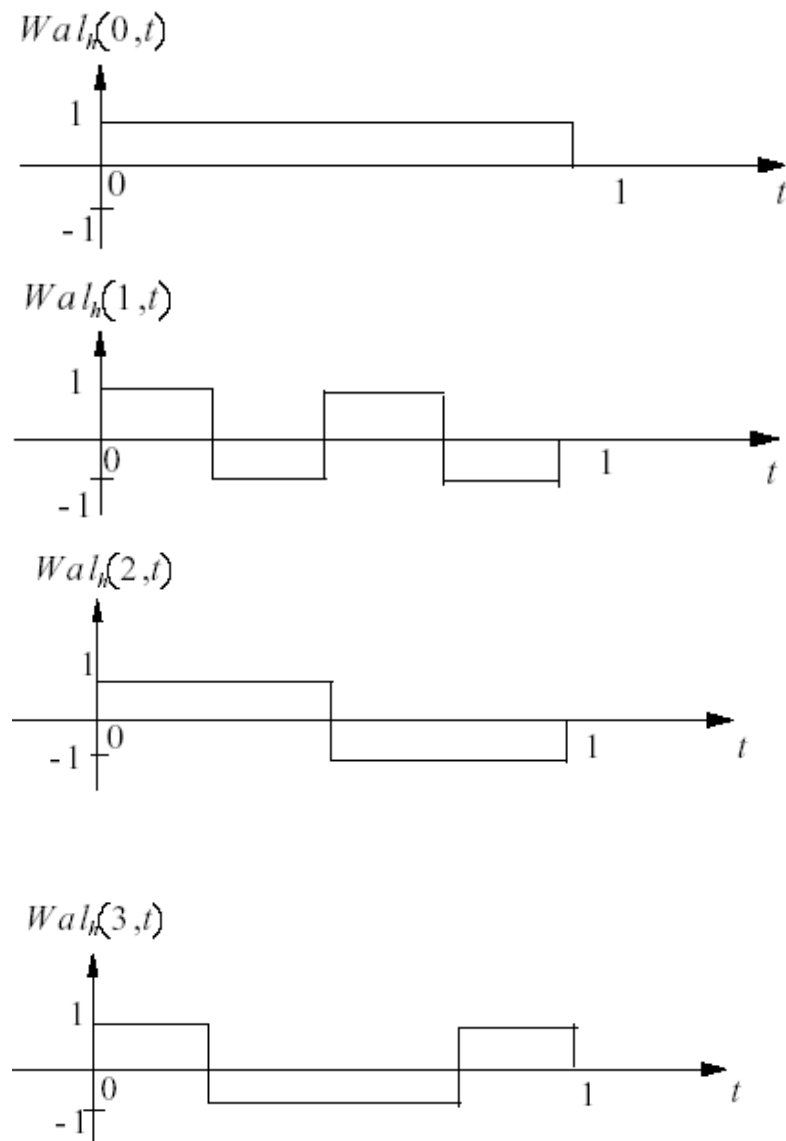
- 在 $[0,1)$ 区间正交

$$\int_0^1 Wal_h(i,t)Wal_h(j,t)dt = \delta(i-j) \quad i,j = 0,1,\dots,N-1$$

- 在 $[0,1)$ 区间均值为0 ( $Wal_h(0,t)$ 均值为1)
- 两个Walsh函数相乘得另一Walsh函数 (对乘法的封闭性)
- Walsh函数集是完备的 (长度为N的Walsh函数有N个)

# Walsh函数的频域特性

- 不同编号的Walsh函数的频带宽度不同，约等于 $1/T_i$  ( $T_i$ 为最短游程)
- 不能直接用Walsh函数作扩频码，否则扩频增益会不同
  - 扩频：窄带信号“调制”宽带信号，使信号带宽扩大G倍。G：扩频增益



# Walsh函数的周期性相关函数

## ■ Walsh函数的周期性延拓

$$Wal_h(i, t) = 0, \quad t \notin [0, T)$$

$$W_i(t) = \sum_{n=-\infty}^{\infty} Wal_h(i, t - nT) \quad -\infty < t < \infty$$

## ■ Walsh函数的周期性自相关和互相关函数

$$R_i(\tau) = \frac{1}{T} \int_0^T W_i(t) W_i(t + \tau) dt$$

$$R_{ij}(\tau) = \frac{1}{T} \int_0^T W_i(t) W_j(t + \tau) dt$$



# Walsh函数的周期性相关特性

- 同步相关特性

$$R_{ij}(0) = \begin{cases} 1, & i = j \\ 0, & i \neq j \end{cases}$$

- 异步相关特性不好

$$\left| R_i(\tau) \right|_{\max} \approx R_i(0), \quad \tau \neq nT$$

$$\left| R_{ij}(\tau) \right|_{\max} \approx R_i(0), \quad \tau \neq nT$$

- 不利于在异步系统中的应用



# 码分多址系统

---

- 采用正交码作为多址方式：CDMA
- 同步码分多址（S-CDMA）
  - 所用用户的信号在接收端是同步到达的
  - TD-SCDMA
- 异步码分多址（A-CDMA）
  - 不同用户的信号在接收端是异步到达的
  - WCDMA, CDMA2000



# 正交码与随机码总结

---

## ■ 正交码

- Walsh码：Hadamard矩阵生产方法
- 同步时理想的相关特性
- 异步时互相关最大值约为自相关最大值
- 适用于：同步系统（如TD-SCDMA),或前向信道

## ■ 随机码

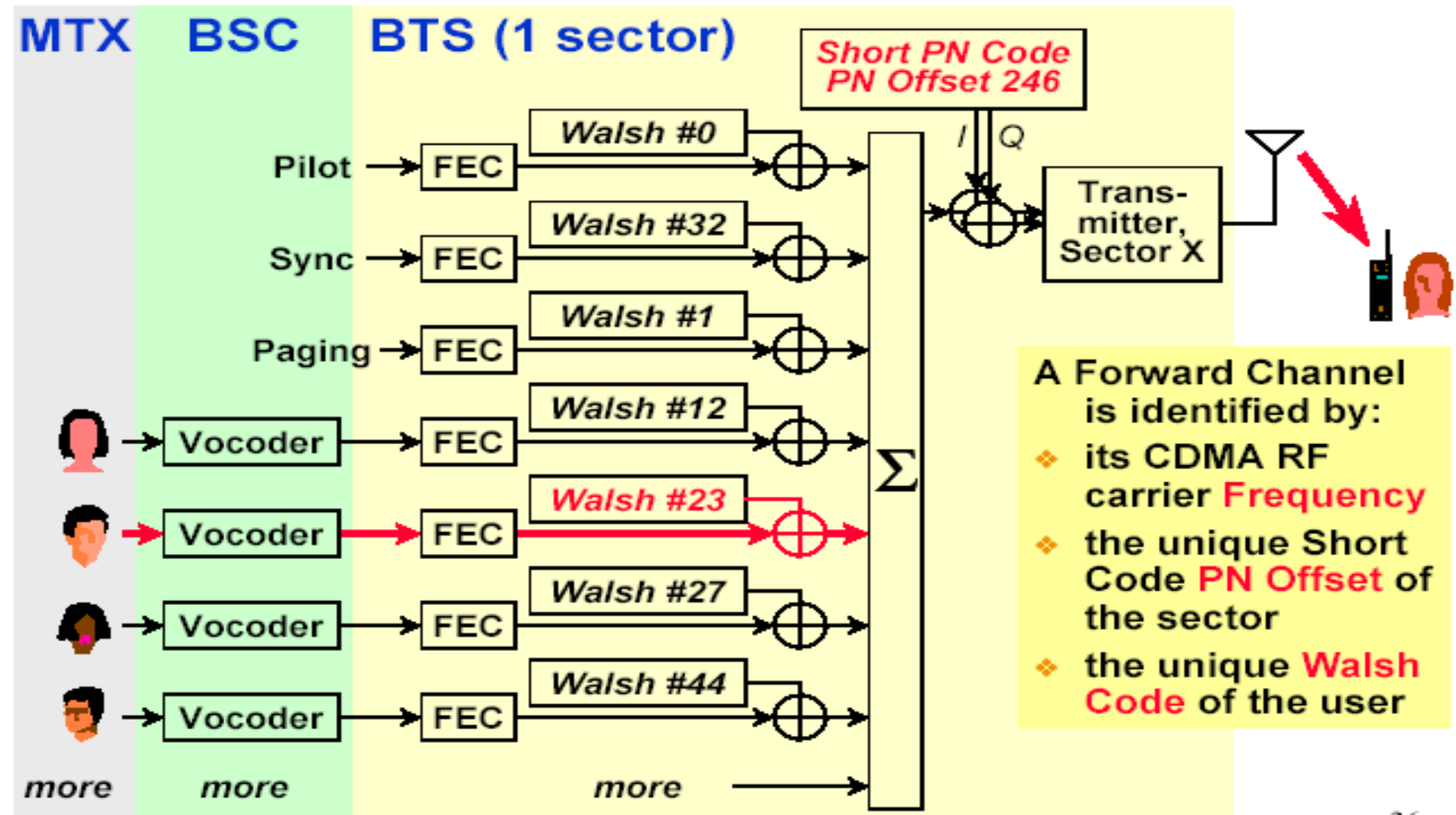
- 均衡性：0,1出现的概率均为 $1/2$
- 游程特性：长度为 $n$ 的游程数为游程总数的 $2^{-n}$
- 位移特性：理想相关特性
- 适用于：异步系统（如WCDMA,CDMA2000)



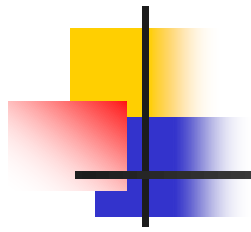
# Walsh码与伪随机序列的结合

- 问题来源：Walsh码的自相关和互相关特性很不理想
- 结合方式：用一相关性好的伪随机序列（如m序列）与Walsh码模2加（单极性）或相乘（双极性）
- 同步互正交性继续保持，即  $r_{ij}(0) = 0$
- 异步相关特性得以改善，旁瓣减为 $\sqrt{N}$ 数量级

# 扩频结合CDMA







以下参考内容



# 多址方式与多址干扰

## ■ 多址方式

- 在无线通信中，多个用户同时通话，以不同的无线信道分隔，防止相互干扰的技术方式称为多址方式

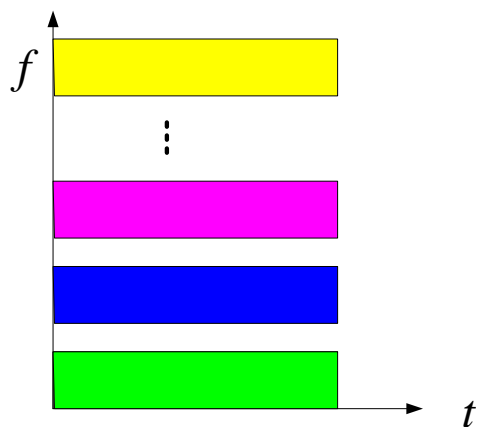
## ■ 多址干扰（MAI: Multi-Access Interference）

- 点对多点通信时，使用共同的传输媒质的多个用户的信号之间非严格正交时，相互之间产生的干扰

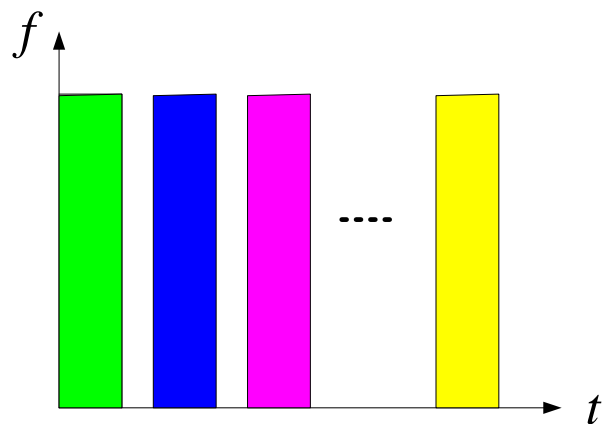
## ■ 抑制MAI的方法：传输资源的正交划分与使用

- 频率正交
  - 频分多址:FDMA;
  - 正交频分复用多址:OFDMA;
  - 波分复用:WDMA
- 时间正交
  - 时分多址:TDMA
- 空间正交
  - 空分多址:SDMA
- 波形正交
  - 码分多址:CDMA

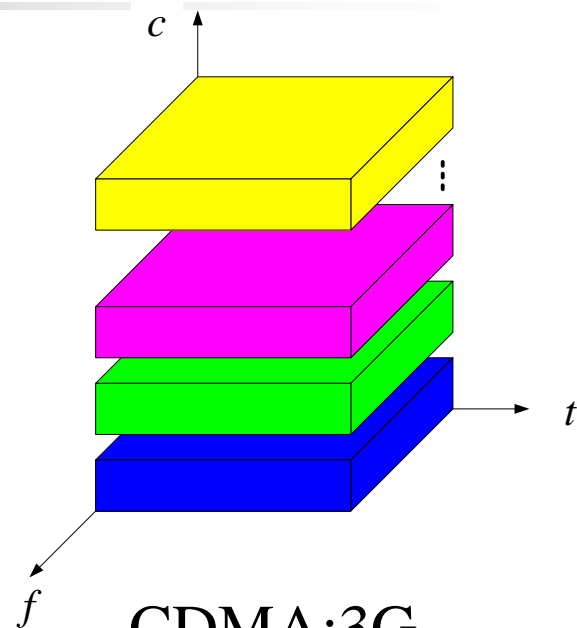
# 常见的多址方式



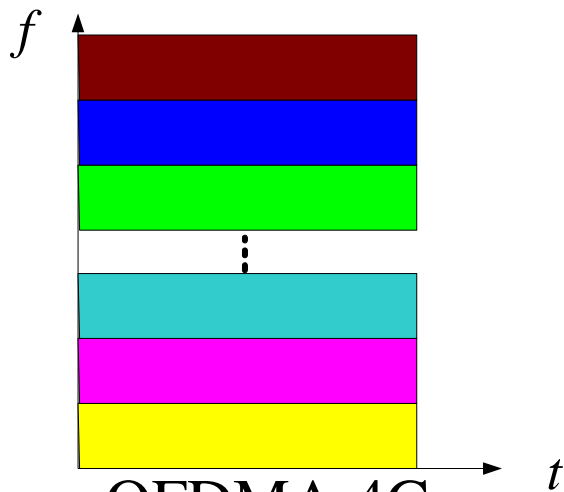
FDMA:1G



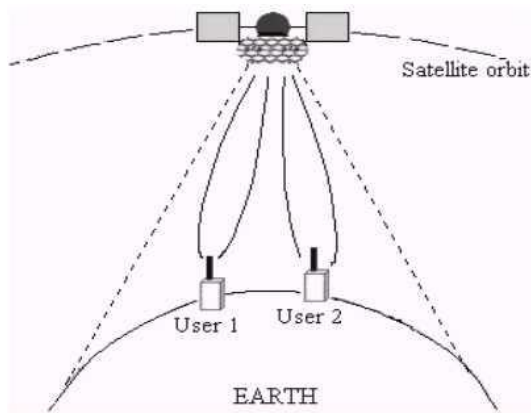
TDMA:2G



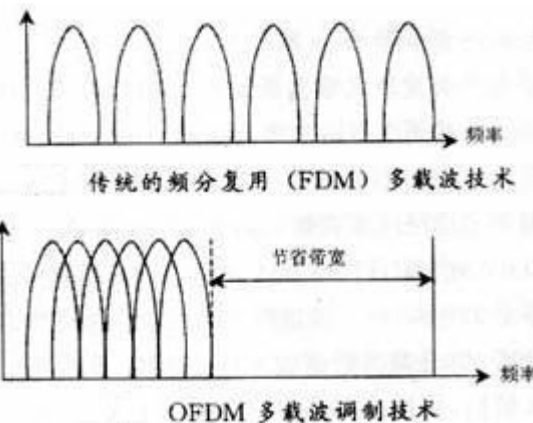
CDMA:3G



OFDMA:4G



SDMA:卫星通信、





# 典型多址系统

- 频分多址：以频率来区分信道。
  - 特点：使用简单，信号连续传输，满足模拟话音通信，技术成熟。
  - 缺点：多频道信号互调干扰严重，频率利用率低，容量小。
- 时分多址：在一个无线频道上，按时间分割为若干个时隙，每个信道占用一个时隙，在规定的时隙内收发信号。
  - 特点：使用简单，频谱效率较高，上下行比可调，通信质量好。
  - 缺点：同步要求严格，覆盖范围小，容量有限
- 码分多址：所有用户在同一频带同一时间内传送信号，利用不同用户信号波形之间的正交性来区分不同用户的信号。CDMA在频率、时间、空间上重叠。
  - 优点：系统容量大，抗干扰能力高，保密性好
  - 缺点：自干扰系统



# 正交概念的应用

- M进制无记忆调制：M组调制波形  $\{s_i(t)\}_{i=1}^M$ 
  - 一组标准正交基  $\{\varphi_i(t)\}_{i=1}^N$  的线性组合  $s_i(t) = \sum_{j=1}^N s_{i,j} \varphi_j(t)$
- *Nyquist*采样定理（无ISI条件）
  - 叠加在一起的波形在采样时刻相互正交
- 信源编码之预测编码、变换编码
  - 消除信源的相关性→正交化
- 线性分组码之生成矩阵与校验矩阵的正交性
  - 正交的线性约束条件
- 限频带限功率高斯信道容量定理证明
  - 带宽 $B$ 的信号以 $2B$ 的采样频率得到 $2BT$ 个正交样值
  - 时域采样：*Nyquist*定理；频域采样：OFDM

# 正交码

- 数字通信系统中通常采用二值的正交码，因为这样的码易于用数字电路实现和处理

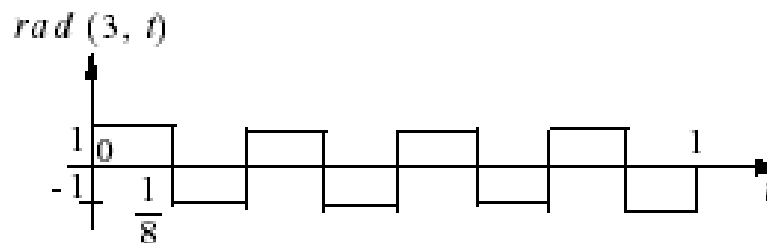
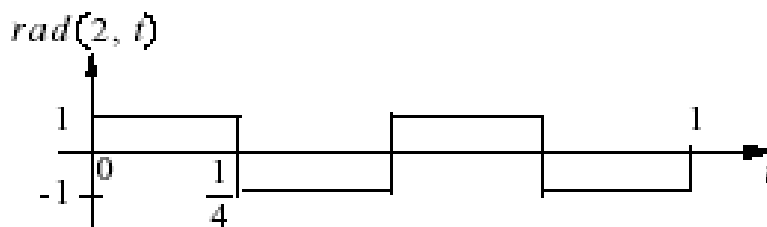
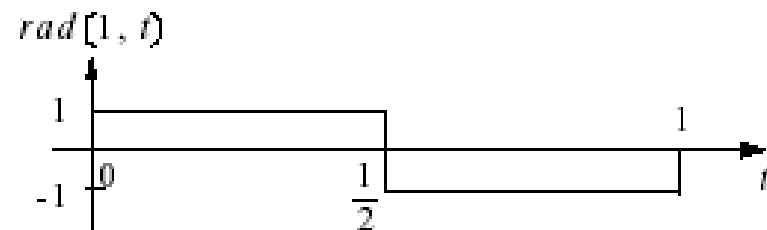
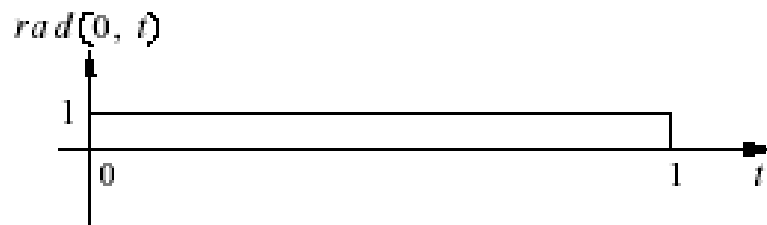
- Rademacher码、Walsh码

- Rademacher函数

$$rad(m, t) = rad(1, 2^{m-1}t) \quad t \in [0, 1) \quad m = 1, 2, \dots$$

$$rad(1, t) = \begin{cases} 1 & t \in [0, \frac{1}{2}) \\ -1 & t \in [\frac{1}{2}, 1) \end{cases}$$

$$rad(0, t) = 1 \quad t \in [0, 1)$$



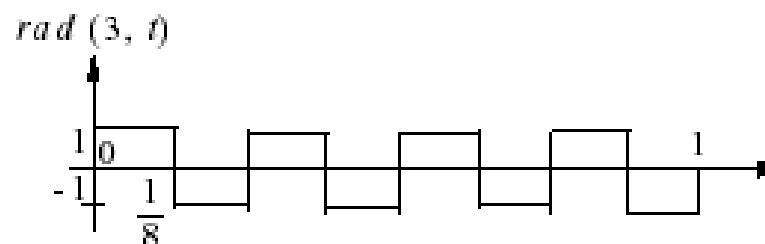
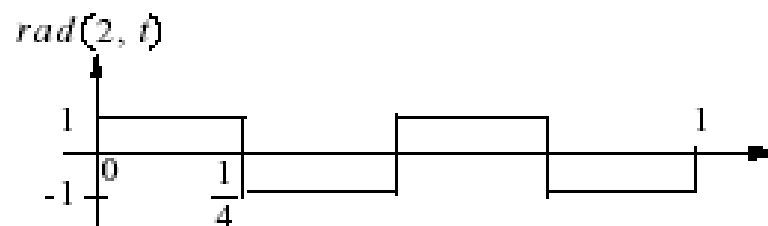
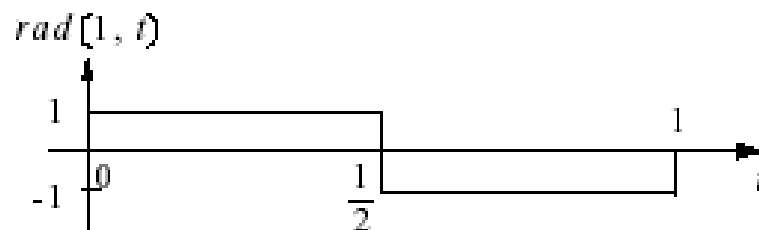
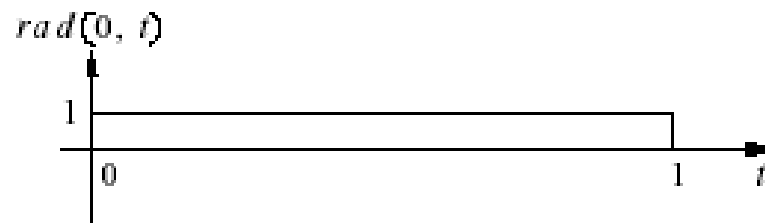
# Rademacher函数

## ■ 分频特性

- 易于数字电路实现

## ■ 性质

- 周期为1
- $[0,1)$ 区间形成正交集
- 双值函数，且一个周期内均值为0（ $\text{rad}(0,t)$ 例外）
- 特点:阶数即符号改变次数
- 不完备的正交函数集





# Rademacher码

---

- 对Rademacher函数抽样就得到双极性Rademacher码

$$Rad(1) = (1, 1, 1, 1, -1, -1, -1, -1)$$

$$Rad(3) = (1, -1, 1, -1, 1, -1, 1, -1)$$

- $(1, -1) \rightarrow (1, 0)$ , 得单极性Rademacher码

$$Rad_s(1) = (1, 1, 1, 1, 0, 0, 0, 0)$$

$$Rad_s(3) = (1, 0, 1, 0, 1, 0, 1, 0)$$

- Rademacher码是正交码集